

## 旋转对轴对称突扩流的影响

突扩燃烧室的流动是很复杂的，它包括燃料和空气的紊流混合、气流分离、气流回流、剪切流的再附着、化学反应等。这些现象受很多参数的影响，如空气的速度和温度、进口紊流度、进口马赫数、突扩面积比、燃烧和空气的密度比、壁的旋转速度、燃料的喷射速度等。本文研究的目的是试图进一步观察和了解突扩燃烧室的流体力学，尤其是壁旋转对再附着长度 $X_L$ 的影响和燃烧室中速度与紊流度的分布图。

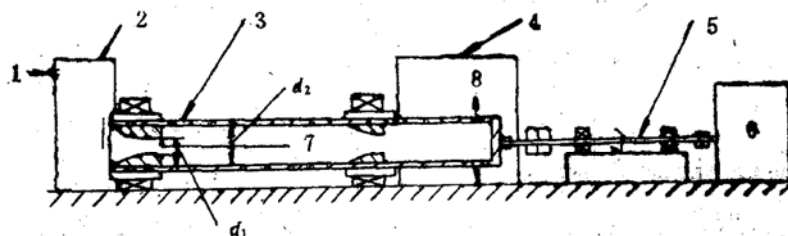


图1 突扩燃烧室试验装置图

1. 进气孔 2. 进气室 3. 试验段 4. 排气室 5. 轴轴台和连轴节  
6. 1.5马力可变速交流电动机 7. 气流 8. 空气

试验装置见图1，它包括一根两端支撑在轴承上的有机玻璃管（内径 $d_2 = 63.5\text{ mm}$ ，长 $76.2\text{ mm}$ ）。管子的一端安装一个型面良好的铝制喷管。喷管设计成能在有机玻璃管中可以容易地拉进拉出，以便它既可做进口喷管，又可做出口喷管。在另一端，距第一个喷管 $L = 8d_2$ 处，有机玻璃管内安装了另一个型面良好的铝制喷管。这个喷管后面安装一个中空的铝圆柱体，这个铝圆柱体的后端是封闭的，沿圆柱体圆周开8个气孔（每 $\pi/4$ 开一个气孔，直径 $4.35\text{ mm}$ ）。一根钢轴与这个圆柱体的封闭端连接，这个轴通过一个连轴节与电动机的主动轴连接。电动机的旋转速度，可由速度控制器控制，其最高速度可达 $\sim 2500\text{ r/min}$ 。

进口喷管内径 $d_1 = 43.2\text{ mm}$ ，于是 $d_2/d_1 = 1.47$ ；阶梯高度 $H = 10.15\text{ mm}$ 。两个稳压室用于封闭组件的开端和轴端。一台抽气机与封闭轴端的稳压室相连接。抽气机可给出 $16\text{ m/s}$ 的平均进口速度。试验装置可产生 $4.6 \times 10^4$ 进口雷诺数的流动和 $2500\text{ r/min}$ 的转速。

突扩旋转流装置中的所有试验都是在一个进口流动状态下进行的。管子进口的中心线速度 $U$ ，在突扩下游 $X = 3.5\text{ mm}$ 处测量。共研究了 $N = 0, 420, 630, 840$ 和 $1050\text{ r/min}$ 五种情况，详细研究了 $N = 0$ 和 $N = 840\text{ r/min}$ 两种情况。另三种情况仅对其 $X_L/H$ 特性进行了验证。这些测量值足以确定 $X_L$ 与 $N$ 的关系。

对于进行详细研究的两种情况，轴向瞬时速度 $u$ 的10个分布图是在 $0.69 \leq X/H \leq 17.13$ 范围内测定的。这些分布图用来绘制流函数 $\psi$ 曲线，因此允许 $\psi_d$ 曲线外延到壁以给出 $X_L$ （主回区的再附着长度）。同时， $X_L$ 值也可由零- $U$ 轨迹外延到壁而获得（ $U$ 为平均轴向速度）。由两种方法确定的 $X_L$ 值符合度在 $\pm 8\%$ 以内。对另三种情况（即 $N = 420, 630$ 和 $1050\text{ r/min}$ ）的 $X_L$ 值是用零- $U$ 轨迹法确定的。圆周速度 $\omega$ 是在 $0.39 \leq X/H \leq 17.13$ 范围内测量的。情况1和情况2的流动对称性是由 $X/H = 1.03$ 和 $4.8$ 处整个管横断面上测量 $u$ 来检验的。结果

表明，有旋转与没有旋转的突扩流是完全以轴线对称的。

旋转对燃烧室核心的流动没有影响。在重点研究的两种情况中，均匀的核心流延伸到 $X/H = 6.0$ 。必须全力关注回流区内及近壁区再附着点下游的旋转影响。当 $N = 0$ 时，在 $X/H = 3.43$ 处可观察到最大的回流；当 $N = 840\text{r}/\text{min}$ ，这个位置移到 $X/H = 1.28$ 。此外，当 $N = 0$ 时，在 $X/H = 4.8$ 回流很明显；但当 $N = 840\text{r}/\text{min}$ ，在同一位置就没有观察到回流（图2）。对情况1，在 $X/H = 0.69$ 和 $1.03$ 近壁处观察到向前的流动；而在情况2，仅在 $X/H = 0.69$ 处观察到。尽管考虑了 $U$ 的测量误差（误差 $< 2\%$ ），现在的结果仍然说明在近角处有次回流存在。采用激光多普勒风速计技术，一些学者发现，次回流的大小从流向 $X/H = 0$ 延伸到 $X/H \approx 1$ ，从经向 $r/R = 1$ 延至 $r/R \approx 0.7$ 。结果表明：次回流的轴向长度对情况1是 $X_s/H > 1$ 对情况2是 $X_s/H < 1$ （ $X_s$ 为次回流区的再附着长度）。

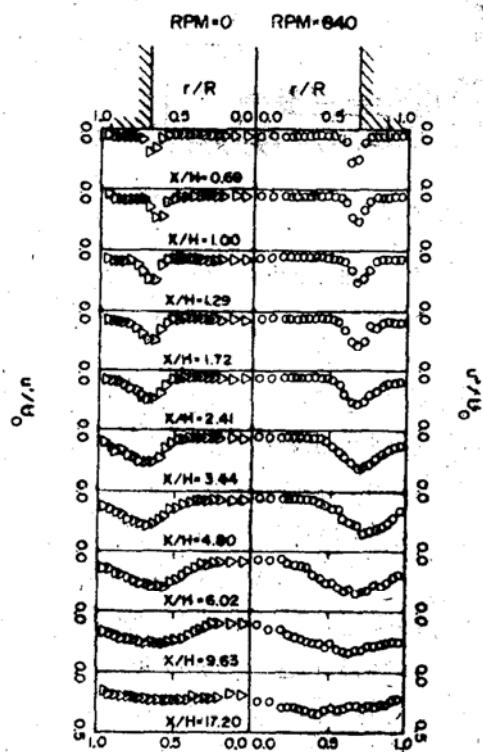


图2 情况1和2回流区内 $U$ 的详细分布图

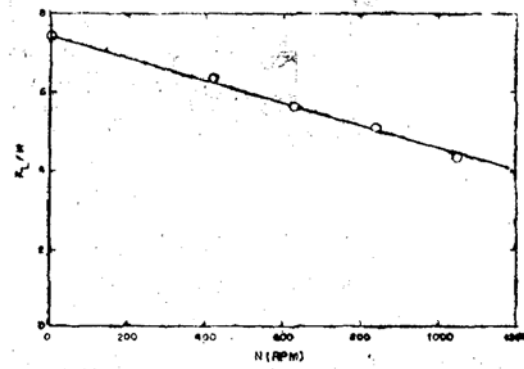


图3  $X_L/H$ 随旋转速度 $N$ 的变化



图4 情况1和2流函数分布图的比较

基于这些测定，情况1再附着点 $X_L/H = 7.4 \pm 0.5$ ；对情况2 $X_L/H = 5.1 \pm 0.4$ 。可以断定，旋转使 $X_L/H$ 减小，当 $N = 840\text{r}/\text{min}$ 其减小大于30%。

为测定有旋转速度时的 $X_L/H$ 特性，还测量了另外三个情况，即 $N = 420, 630$ 和 $1050$ 的 $X_L/H$ 。这三种情况， $X_L/H$ 的特性是 $U = 0$ 曲线外延到壁测定的，因此不需要测量完整的 $U$ 分布图。图3表明，随着 $N$ 的增加，再附着点直线减少。减少的原因是分离的剪切层迅速延伸，而这个快速延伸主要是旋转管壁产生大的剪切的不稳定影响引起的。

管子旋转对流动产生两个相反的作用。一个是由于管子旋转产生大的周向剪切引起的不稳定性；另一个是稳定性，它是流体转动离心力的结果。在旋转管的进口，壁的附面层是薄的，流体旋转主要限于附面层，其旋转速度从 $\omega R$ 减少到0。在这个区域，由于大的周向剪

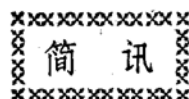
切，旋转主要引起不稳定性。由于旋转进口喷管产生的不稳定影响，进口附面层是不稳定的。当这个附面层离开进口喷管形成混合层时，附加的不稳定影响引起混合层扩展得更快，导致回流减小。

为了清楚地描述回流区及其大小，采用测量 $U$ 分布图构成情况1和2的流函数图沿突扩管轴线的流函数，用 $\psi_0$ 使 $\psi$ 规范化，其结果表示在图4。图形也表明拐角处次回流区的存在。对情况1，这个次回流区从 $r/R = 1$ 扩展到 $r/R \approx 0.8$ ，从 $X/H = 0$ 扩展到 $\sim 1.2$ ，在那里出现次再附着点。虽然目前的测量不能很好的给出情况2的回流区大小，但发现回流区轴向延伸到 $X_s/H < 1$ （图2）。一般可见，旋转也倾向于缩短次再附着长度。

通过上面分析可得如下结论：

1. 管子旋转使近壁的流动产生一个很大的剪切，这对分离剪切层增加了不稳定的作  
用。与不旋转的流动状态相比较，可使其更快扩展与较早再附着。当 $N = 840\text{r}/\text{min}$ 时，可观  
察到再附着长度减少30%以上。
2. 突扩燃烧室中的流动，基本上受不稳定作用的支配。这是由于燃烧室长度短，不具  
有使流动产生稳定作用的离心力。
3. 在研究的 $0 \leq N \leq 1200\text{r}/\text{min}$ 范围内，主再附着长度随旋转速度 $N$ 增加而直线减小。
4. 在拐角附近可观察到一个次回流区，这点在燃烧室有没有旋转都存在。

谷岩摘自 *Journal of Propulsion and Power*, May-June 1988



## 简讯

### 中国航空学会召开第六届燃烧与传热学术交流会

中国航空学会第六届燃烧与传热学术交流会于1988年9月21日至24日在南京市举行。会议由南京航空学院主办，参加单位有航空航天部606所、608所、624所、三院三十一所、北京航空航天大学、西北工业大学等21个单位。出席代表83人，其中有教授、副教授和高级工程师34人。中国航空学会理事王宏基教授到会作了指导。

会议分成二个燃烧组、一个传热组交流了66篇学术论文。对每一篇报告与会者都进行了热烈讨论。会议期间召开了领导小组会，评出8篇优秀论文，并商定下届交流会于1990年由北京航空航天大学主办。

（本刊编辑部）